

ΠΡΑΚΤΙΚΑ ΤΗΣ ΑΚΑΔΗΜΙΑΣ ΑΘΗΝΩΝ

ΣΥΝΕΔΡΙΑ ΤΗΣ 12^{ΗΣ} ΜΑΡΤΙΟΥ 1987

ΠΡΟΕΔΡΙΑ ΚΩΝΣΤΑΝΤΙΝΟΥ ΜΠΟΝΗ

ΑΣΤΡΟΝΟΜΙΑ. — Πιθαναί περιοδικότητες τοῦ ἡλιακοῦ πλάσματος μεγάλης ταχύτητος συναρτήσει τοῦ χρόνου, ὑπὸ Ἰ. Ξανθάκη, Κων. Πουλάκου καὶ Βασ. Πετροπούλου* [Κέντρον'Ερευνῶν 'Αστρονομίας καὶ 'Εφηρμοσμένων Μαθηματικῶν τῆς 'Ακαδημίας 'Αθηνῶν], διὰ τοῦ ἀκαδημαϊκοῦ κ.Ιωάννου Ξανθάκη.

1. ΕΙΣΑΓΩΓΗ

Τὸ ρεῦμα πλάσματος μεγάλης ταχύτητος χαρακτηρίζεται ἀπὸ μία μεγάλη αὔξηση τῆς ταχύτητός του μέσα στὸν ἡλιακὸ ἄνεμο, ἡ δόποία διαρκεῖ περίπου 3-4 ἡμέρες.

Κατὰ καιροὺς διάφοροι ἐρευνηταὶ ἔδωσαν καὶ διαφορετικὸ δρισμὸ τῶν ρευμάτων πλάσματος ὑψηλῆς ταχύτητος (ἐφ' ἐξῆς HSPS). 'Ο Intriligator (1973, 1977) χαρακτηρίζει σὰν ρεῦμα πλάσματος ὑψηλῆς ταχύτητος ἐκεῖνο τὸ ρεῦμα πλάσματος τὸ δόποιο αὐξάνει ἀποτόμως τὴν ταχύτητά του στὸν ἡλιακὸ ἄνεμο καὶ ἔχει μιὰ ὑψηστη τιμὴ 450 km sec^{-1} . 'Ο Bame et al (1976) καὶ ὁ Gosling et al (1976) χαρακτηρίζουν ἐναὶ ρεῦμα πλάσματος ὑψηλῆς ταχύτητος, δηλ. ἐναὶ HSPS (High Speed Plasma Stream) σὰν ἐκεῖνο τὸ ρεῦμα εἰς τὸ δόποιον παρατηρεῖται μιὰ αὔξηση ταχύτητος τουλάχιστον 150 km sec^{-1} ἐντὸς χρόνου 5. ἡμερῶν. 'Ο Broussard et al (1977) ὁρίζει

* I. XANTHAKIS, C. POULAKOS, B. PETROPOULOS, **Probable periodicities of the solar wind streamers.**

σὰν HSPS ἔκεινο τὸ ρεῦμα τοῦ ἡλιακοῦ ἀνέμου τὸ ὅποῖον ἔχει μέση ἡμερησία ταχύτητα 500 km sec⁻¹.

‘Ο Lindblad (1981) διετύπωσε ἔναν ἄλλο ὄρισμὸ τοῦ HSPS ποὺ τὸν βάσισε στὴ διαφορὰ ταχύτητος τοῦ ρεύματος μεταξὺ δύο διαδοχικῶν ἡμερῶν. Χρησιμοποίησε δηλαδὴ ἔνα χρονικὸ ὅριο μεταξὺ 6 καὶ 48 ὥρῶν κατὰ τὴ διάρκεια τοῦ ὅποίου παρατηρεῖται ἡ διαφορὰ ταχύτητος. ‘Ο Lindblad ἔδωσε ἔμφαση στὴ μεταβολὴ τῆς ταχύτητος τοῦ HSPS καὶ στὴ μεγίστη τιμὴ τῆς ταχύτητος ποὺ παρατηρεῖται σ’ αὐτό. ‘Ο ἐν λόγῳ ἔρευνητὴς βασίζει τὸν ὄρισμὸ αὐτὸ τοῦ HSPS στὸ γεγονός τῆς στενῆς σχέσεως ποὺ φαίνεται νὰ ὑφίσταται μεταξὺ τοῦ γεωμαγνητικοῦ πεδίου καὶ τῆς μεταβολῆς τῆς ταχύτητος τοῦ ἡλιακοῦ ἀνέμου. ’Ἐπειδὴ δὲ ἡ μελέτη του ἀποσκοποῦσε στὴν ἔρευνα ἡλιακῶν καὶ γήινων φαινομένων, τοῦ ἐφάνη ὅτι ἡ στενὴ σχέση μεταξὺ $\frac{du}{dt}$ τοῦ HSPS καὶ τῆς γεωμαγνητικῆς δραστηριότητος ἦταν πιὸ σαφῆς γιὰ τὸν ὄρισμὸ ἐνδὸς ρεύματος ἡλιακοῦ ἀνέμου σὰν HSPS παρὰ ἡ μεγάλη ταχύτης τοῦ ρεύματος.

Τὰ ρεύματα πλάσματος ὑψηλῆς ταχύτητος τοῦ ἡλιακοῦ ἀνέμου (HSPS), ἀνεξαρτήτως ὄρισμοῦ τους, ἀποτελοῦνται ἀπὸ ἡλεκτρόνια, πρωτόνια, βαρέα ιόντα, κυρίως σωματίδια α (πυρῆνες H, He, O, Ne, Si, Fe). ‘Η δομή τους ἀναλυτικότερα ἐμελετήθη ἀπὸ τοὺς Hirshberg (1975) καὶ Feldman (1977). Τὰ HSPS ἀνάλογα μὲ τὴν ταχύτητά τους ταξινομοῦνται σὲ δύο κυρίως κατηγορίες.

a) σὲ ρεύματα μεγάλης ταχύτητος δῆλ. $u = 500 \text{ km sec}^{-1}$

b) σὲ ρεύματα μικρῆς ταχύτητος δῆλ. $u = 350 \text{ km sec}^{-1}$

‘Η μελέτη τῆς κατανομῆς τῆς ταχύτητος τῶν HSPS καθ’ ὅλον τὸν ἡλιακὸν κύκλον ἔδειξε ὅτι ἐνῶ ἡ μέση ταχύτης τῶν ρευμάτων φαίνεται νὰ παραμένει σταθερή, λίγο πρὸ τὸ ἐλάχιστο τοῦ ἡλιακοῦ κύκλου, ἀποτόμως αὐξάνεται ἐγγίζουσα μιὰ τιμὴ τῆς τάξεως τῆς $u = 800 \text{ km sec}^{-1}$. Αὐτὴ ἡ δίκην οὐρᾶς κατανομὴ τῆς ταχύτητος ἀντιπροσωπεύει ρεύματα πλάσματος στὸν ἡλιακὸ ἀνεμο τὰ ὅποια κινήθηκαν μὲ πολὺ ὑψηλὲς ταχύτητες. ‘Ενα ρεῦμα HSPS ἔχει μία δομὴ ἡ ὅποια χαρακτηρίζεται ἀπὸ α) τὸ προφίλ, β) τὴ θερμοκρασία του, γ) τὴν πυκνότητά του, δ) τὴν ταχύτητά του, καὶ ε) τὸ μαγνητικό του πεδίο ὅπως αὐτὰ ἀνιχνεύονται πλησίον τῆς γῆς.

Τὰ HSPS περιστρέφονται μὲ τὴν ἴσημερινὴ περίοδο περιστροφῆς τῆς φωτοσφαίρας, δηλαδὴ μὲ περίοδο μιᾶς περιστροφῆς Bartel (27,1 ἡμέρες), καὶ παρατηροῦνται σὲ ὅλες τὶς φάσεις τοῦ ἡλιακοῦ κύκλου, δεικνύονται δὲ μιὰ κάποια ἀστάθεια στὴ διάρκειά τους. Τὰ πλέον σταθερᾶς διαρκείας HSPS παρετηρήθησαν κατὰ τὴ

διάρκεια τοῦ καθοδικοῦ κλάδου τῆς ἡλιακῆς δραστηριότητος.

“Αν καὶ ὁ 20ὸς ἡλιακὸς κύκλος, κατὰ τὴ διάρκεια τοῦ ὅποίου καὶ ἐλήφθησαν ὅλες οἱ μετρήσεις τῶν HSP οἱ ὅποιες χρησιμοποιήθηκαν στὴν παρούσα ἐργασία, δὲν ἀποτελεῖ ἔνα χαρακτηριστικὸ δεῖγμα ἡλιακοῦ κύκλου, οἱ Gosling⁸ et al (1976) τόσο ἐντυπωσιάσθηκαν ἀπὸ τὴ δύναμη καὶ τὴ σταθερότητα τῶν ρευμάτων τοῦ ἡλιακοῦ ἀνέμου κατὰ τὴ διάρκεια τοῦ ἔτους 1974, ὥστε ὑπέδειξαν ὅτι τὸ βασικὸ χαρακτηριστικὸ γνώρισμα τοῦ ἡλιακοῦ ἀνέμου, σὲ περίπτωση ἀπουσίας τῶν ὄριακῶν μαγνητικῶν πεδίων, εἶναι ἡ μεγάλη ταχύτης τῶν ρευμάτων του.

Μέχρι τὸ 1981 ἐπικρατοῦσε ἡ ἀποψη ὅτι ὑπάρχει ἔνας ὄμαλός, χαμηλῆς σχετικῶς ταχύτητος ἡλιακὸς ἀνεμος εἰς τὸν ὅποῖον εἶναι ἐμβαπτισμένα ρεύματα ὑψηλῆς ταχύτητος. Σήμερα θεωρεῖται περισσότερον πιθανὸν ὅτι ἀπὸ κάποια πηγὴ ἐξέρχεται ἔνας ἀνεμος χαμηλῆς ταχύτητος ἐξεισσόμενος σὲ ἀνεμο ὑψηλῆς ταχύτητος, καὶ ὅτι αὐτὴ ἡ πηγὴ δὲν εἶναι ἄλλο παρὰ οἱ στεμματικὲς ὄπές (Coronal Holes). Θὰ πρέπει νὰ σημειώσουμε ἐδῶ πώς ἂν καὶ τὰ ρεύματα ὑψηλῆς ταχύτητος προέρχονται κυρίως ἀπὸ τὶς στεμματικὲς ὄπές, ἐν τούτοις δὲν εἶναι καὶ ἡ μόνη πηγὴ γενέσεώς των. Πράγματι ἔχει παρατηρθεῖ — καὶ γι’ αὐτὸ τὸ λόγο τὰ HSPS ταξινομοῦνται σὲ 2 κατηγορίες — ὅτι ρεύματα μεγάλης ταχύτητος προέρχονται ἐπίσης καὶ ἀπὸ ἡλιακὲς ἐκλάμψεις καὶ πρὸς διάκρισιν τῶν προηγουμένων σταθερῶν ρευμάτων (stable HSPS) αὐτὰ τὰ τελευταῖα ὄνομάστηκαν shock waves HSPS.

‘Ο Simon (1980) διακρίνει τὰ HSPS ἐπίσης σὲ δύο κυρίως κατηγορίες δηλ. α) σὲ HSPS προερχόμενα ἀπὸ Coronal Holes (stable HSPS) καὶ β) σὲ HSPS προερχόμενα ἀπὸ ἴσχυρὰ κέντρα δράσεως τοῦ ἡλίου σὲ μέσα καὶ χαμηλὰ ἡλιακὰ πλάτη. Συσχέτισε ἐν συνεχείᾳ τὰ HSPS μὲ τοὺς ἀριθμοὺς Wolf (R_Z) κατὰ τὴ διάρκεια τοῦ 20οῦ ἡλιακοῦ κύκλου καὶ βρῆκε μία θετικὴ συσχέτιση μεταξὺ τῶν R_Z καὶ HSPS τῶν προερχομένων ἀπὸ ἴσχυρὰ κέντρα δράσεως τοῦ ἡλίου, ἐνῶ ἀντίθετα βρῆκε μιὰ ἀρνητικὴ συσχέτιση μεταξὺ τῶν R_Z καὶ τῶν HSPS τῶν προερχομένων ἀπὸ στεμματικὲς ὄπές. Μία ἐξήγγηση τοῦ φαινομένου αὐτοῦ ἴσως εἶναι τὸ γεγονός πώς οἱ στεμματικὲς ὄπές ἐδῶ σχετίζονται κυρίως μὲ μονοπολικές περιοχές.

Τὴ στενὴ συσχέτιση μεταξὺ στεμματικῶν ὄπῶν, εἴτε στοὺς πόλους εἴτε στὸ δίσκο, καὶ τῶν HSPS τοῦ ἡλιακοῦ ἀνέμου μελέτησαν οἱ Gosling (1975), Schwenn et al (1978) Zircker (1977) καὶ Smith (1979). Οἱ ἐρευνηταὶ αὐτοὶ βρῆκαν ὅτι ὑπάρχει μεγάλη συσχέτιση μεταξὺ τοῦ φωτοσφαιρικοῦ μαγνητικοῦ πεδίου, τοῦ μεσοπλανητικοῦ μαγνητικοῦ πεδίου (IMF), τῶν στεμματικῶν ὄπῶν καὶ τῶν ρευμάτων πλάσματος ὑψηλῆς ταχύτητος τοῦ ἡλιακοῦ ἀνέμου. ‘Ο Sheeley et al (1977) ἀναλύοντας

παρατηρήσεις τοῦ μεσοπλανητικοῦ μαγνητικοῦ πεδίου, τῶν HSPS τοῦ ἡλιακοῦ ἀνέμου, καὶ τῶν γεωμαγνητικῶν διαταραχῶν τῆς βοηθεία τοῦ δείκτου C9 κατὰ τὴν περίοδο 1962-1975 ἐπεβεβαίωσαν ἀφ' ἐνὸς μὲν μερικὰ χαρακτηριστικὰ τοῦ ἡλιακοῦ ἀνέμου ὅπως π.χ. τὸ γεγονός ὅτι τὰ ρεύματα τοῦ ἡλιακοῦ ἀνέμου εἶναι ταχύτερα, εὐρύτερα καὶ πλέον μακρόβια κατὰ τὴ διάρκεια τῶν περιόδων 1962-1964 καὶ 1973-1974 δηλαδὴ κατὰ τὸ τέλος τῆς καθοδικῆς φάσεως τοῦ ἡλιακοῦ κύκλου. Προσέτι δὲ ὅτι τὰ HSPS δεικνύουν στενὴ συσχέτιση μὲ τὴν περιοδικότητα τῆς γεωμαγνητικῆς δραστηριότητος ποὺ εἶναι χαρακτηριστικὴ τοῦ καθοδικοῦ κλάδου τῆς ἡλιακῆς δραστηριότητος τοῦ 11ου ἡλιακοῦ κύκλου.

Οἱ Pudovkin et al (1976) καὶ Dvinskikh et al (1981) ἀνεῦρον σχέσεις μεταξὺ τῆς ἐντάσεως τοῦ γεωμαγνητικοῦ πεδίου καὶ ἴδιαίτερα τοῦ δείκτου A_P καὶ τῶν HSPS τοῦ ἡλιακοῦ ἀνέμου.

Τέλος οἱ Mavromichalaki et al (1985) ἔδειξαν ὅτι ἡ ἐνταση τῆς κοσμικῆς ἀκτινοβολίας ποὺ μετρεῖται στὸ ἔδαφος, ἔξαρτᾶται κατὰ τὴν ἑτησία μεταβολή της γιὰ τὴ χρονικὴ περίοδο 1964-1974 ἀπὸ τὸν ἀριθμὸ τῶν HSPS τοῦ ἡλιακοῦ ἀνέμου.

Ἡ ἐκπομπὴ λοιπὸν τῶν σωματιδίων ποὺ ἀπαρτίζουν τὰ HSPS δὲν εἶναι οὕτε τυχαία οὕτε ἀκανόνιστος, ἀλλὰ ἔξαρτᾶται ἀφ' ἐνὸς μὲν ἀπὸ τὶς στεμματικὲς ὄπες καὶ τὶς ἡλιακὲς ἐκλάμψεις (solar flares) ἀφ' ἑτέρου δὲ ἀπὸ τὰ κέντρα δράσεως τοῦ ἡλίου. Τὰ σωματίδια αὐτὰ ἐπιταχυνόμενα μεγάλως μεταφέρονται δίκην ρευμάτων πλάσματος στὸ μεσοπλανητικὸ χῶρο ἐπηρεάζοντα στὴ συνέχεια τὸ γεωμαγνητικὸ πεδίο.

Τὸν τρόπο σύζευξης μεταξὺ τοῦ ἡλιακοῦ ἀνέμου καὶ τῆς μαγνητόσφαιρας τῆς γῆς ἀνέλυσε πρόσφατα ὁ Akasofu (1981).

Ἐξ ὅλων τῶν ἀνωτέρω ἐκτεθέντων θεωρήσαμε ὅτι θὰ ἥταν ἐνδιαφέρον νὰ ἔξετασθε τὸ πρόβλημα τῆς στατιστικῆς ἀναλύσεως τῶν ἀριθμῶν τῶν HSPS ποὺ ἐμφανίζονται στὸν ἡλιακὸ ἀνεμο καὶ νὰ μελετηθοῦν τυχόν περιοδικότητες ἐμφανίσεως αὐτῶν καὶ νὰ συγκριθοῦν πρὸς ἄλλες περιοδικότητες μεταξὺ γήινων καὶ ἡλιακῶν φαινομένων.

Εἰς τὴν παρούσα ἐργασία μελετήθηκαν οἱ μεταβολὲς τῆς συχνότητος ἐμφανίσεως τῶν ρευμάτων πλάσματος ὑψηλῆς ταχύτητος (ὁ ἀριθμὸς τῶν HSPS) συναρτήσει τοῦ χρόνου (ἀριθμὸς περιστροφῶν κατὰ Bartel καθὼς καὶ μηνιαῖς τιμές), μὲ σκοπὸ τὴν ἀποκάλυψη πιθανῶν περιοδικοτήτων ποὺ εἶναι δυνατὸν νὰ συνδέονται μὲ ἀντίστοιχες περιοδικότητες γήινων φαινομένων.

Τὰ δεδομένα τῶν παρατηρήσεων καλύπτουν τὴ χρονικὴ περίοδο 1964-1978 καὶ

ἀποτελοῦνται ἀπὸ α) ρεύματα HSPS προερχόμενα ἀπὸ στεμματικὲς ὅπεὶς β) ρεύματα HSPS προερχόμενα ἀπὸ ἡλιακὲς ἐκλάμψεις καὶ γ) ἀπὸ ρεύματα HSPS ἀδιακρίτως πηγῆς προελεύσεώς των.

Πρὸς τοῦτο χρησιμοποιήσαμε τὰ δεδομένα τῶν παρατηρήσεων τὰ ὅποια ἐλήφθησαν διὰ δορυφόρων κατὰ τὴ διάρκεια τῆς χρονικῆς περιόδου 1964-1978 δημοσιευθέντα ὑπὸ τοῦ Lindblad (1981).

2. ΑΝΑΛΥΣΗ ΤΩΝ ΔΕΔΟΜΕΝΩΝ ΤΗΣ ΠΑΡΑΤΗΡΗΣΕΩΣ

2.1. Ρεύματα HSPS προερχόμενα ἀπὸ ἡλιακὲς ἐκλάμψεις.

Ἐπειδὴ ὁ κατάλογος τοῦ Lindblad ἀπὸ τὸν ὅποιον ἐλήφθη ὁ ἀριθμὸς τῶν HSPS παρουσιάζει ἀρκετὰ κενὰ χαρακτηριζόμενα μὲ τὸν ἀριθμὸν μηδέν (δηλαδὴ δὲν ἔγιναν μετρήσεις ἀπὸ τοὺς δορυφόρους), θεωρήσαμε σκόπιμο ἀντὶ τοῦ πραγματικοῦ ἀριθμοῦ τῶν HSPS νὰ χρησιμοποιήσουμε τοὺς ἀριθμοὺς τῶν HSPS τοὺς ληφθέντας μὲ τὴ βοήθεια τῶν ἀνὰ 5-περιστροφῶν Bartel κινητῶν μέσων ὅρων σημειωμένων ὡς $F_{(5)}^{\text{obs}}$. Ἡ ποσότης αὐτὴ δύναται νὰ θεωρηθεῖ ὅτι παριστᾶ τὴ μέση μεταβολὴ τῶν HSPS κατὰ περιστροφὴ Bartel.

Τὰ δεδομένα τοῦ ὑπολογισμοῦ παρέχονται στὴν εἰκόνα 1α ὑπὸ τῶν ἀνοικτῶν κύκλων. Ἡ εἰκόνα αὐτὴ δεικνύει ὅτι ἡ ποσότης $F_{(5)}$ παρουσιάζει πιθανότατα μία μακρὰ μεταβολὴ μὲ περίοδον 150 περιστροφῶν Bartel δηλ. 11.1 ἔτη. Ἡ μακρὰ αὐτὴ μεταβολὴ παρίσταται ἀναλυτικῶς ὑπὸ τοῦ ὅρου ποσότητος

$$0.5 + 0.6 \sin \frac{2\pi}{150} (T-1825) \quad (1)$$

Οἱ διαφορὲς $F_{(5)}^{\text{obs}} - \{0.5 + 0.6 \sin \frac{2\pi}{150} (T-1825)\}$ παρίστανται στὴν εἰκόνα 1 b ὑπὸ τῶν ἀνοικτῶν κύκλων. Ἡ εἰκόνα αὐτὴ δεικνύει ὅτι οἱ ἐν λόγῳ διαφορὲς δὲν φαίνεται νὰ εἶναι τυχαῖες ἀλλὰ ἐμφανίζονται σποραδικῶς ὑπὸ μορφὴν ἡμιπεριόδων καὶ οἱ ὅποιες παρίστανται στὴν εἰκόνα 1b ὑπὸ τῶν συνεχῶν ἡμιτονοειδῶν καμπύλων.

Οἱ περίοδοι τῶν μεταβολῶν τούτων φαίνεται νὰ εἶναι σταθερὲς καὶ ἵσες μὲ 14 ἴσημερινὲς περιστροφὲς ἥτοι ἵσες μὲ 12.6 μῆνες. Ἀναλυτικῶς οἱ περιοδικότητες αὐτὲς παρέχονται ἀπὸ τὴ σχέση

$$F_{(5)}^{\text{obs}} - F_{(5)}^{\text{com}} = 0.6 \sin \frac{2\pi}{14} (T-1828) - 0.6 \sin \frac{2\pi}{14} (T-1846) - \\ 1828-34 \qquad \qquad \qquad 1846-53$$

$$- 0.6 \sin \frac{2\pi}{14} (T-1861). \quad (2)$$

1861-82

Τό αύθροισμα τῶν (1) καὶ (2) παριστᾶ τὴ μέση μεταβολὴ τῆς ποσότητος $F_{(5)}^{\text{com}}$ ἡ ὁποία παρίσταται ἀναλυτικῶς ὑπὸ τῆς σχέσεως:

$$F_{(5)}^{\text{com}} = 0.5 + 0.6 \sin \frac{2\pi}{150} (T-1825) + 0.6 \sin \frac{2\pi}{14} (T-1828) -$$

1828-34

$$- 0.6 \sin \frac{2\pi}{14} (T-1846) - 0.6 \sin \frac{2\pi}{14} (T-1861) \quad (3)$$

1846-53 1861-82

Εἰς τὴν εἰκόνα 1c οἱ πλήρεις κύκλοι παριστοῦν τὶς τιμὲς τοῦ $F_{(5)}^{\text{obs}}$, ἡ δὲ συνεχὴς γραμμὴ τὶς τιμὲς τῆς ποσότητος $F_{(5)}^{\text{com}}$, οἱ ὁποῖες παρέχονται ἀπὸ τὴν σχέση (3). Ἡ s.d (standard deviation) τῆς ποσότητος $F_{(5)}^{\text{obs}} - F_{(5)}^{\text{com}}$ εὑρέθη ἵση μὲ ± 0.2 units.

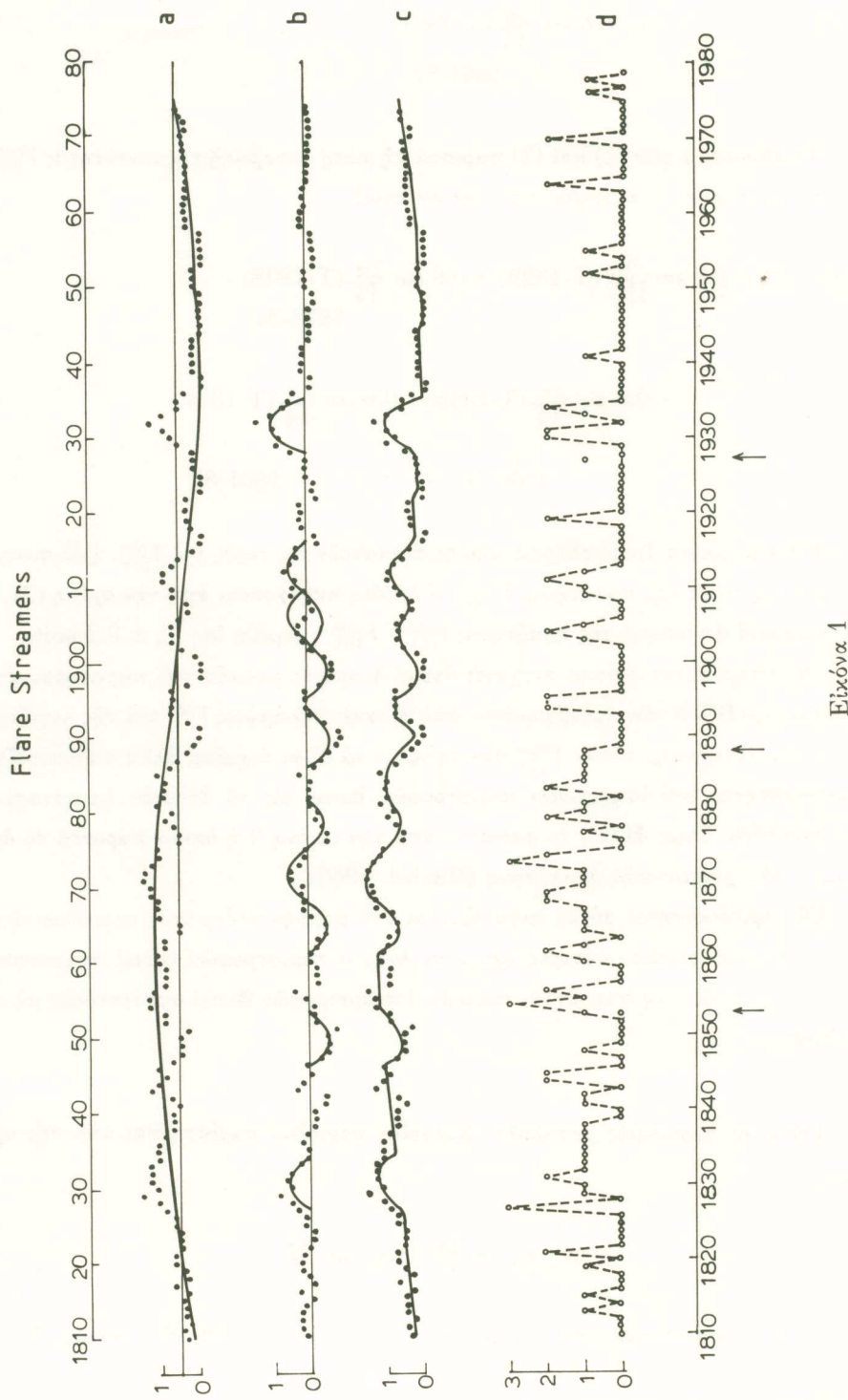
Ἄξιοσημείωτον ἐπίσης τυγχάνει ὅτι οἱ διαφορὲς μεταξὺ τοῦ παρατηρουμένου ἀριθμοῦ τῶν HSPS τῶν προερχομένων ἀπὸ ἡλιακὲς ἐκλάμψεις F^{obs} καὶ τῆς λογιζομένης μέσης μεταβολῆς αὐτοῦ, $F_{(5)}^{\text{com}}$ δὲν φαίνεται νὰ εἴναι τυχαῖες, ἀλλὰ παρουσιάζουν περιοδικότητες 5-6 ἵσημερινῶν περιστροφῶν Bartel εἰς τὸ ἐπίπεδο ἐμπιστοσύνης ἄνω τοῦ 95%, ὅπως ἄλλως τε φαίνεται ἀπὸ τὴν εἰκόνα 2 ἡ ὁποία παριστᾶ τὸ διάγραμμα τῆς φασματικῆς ἀναλύσεως (Mitchel, 1966).

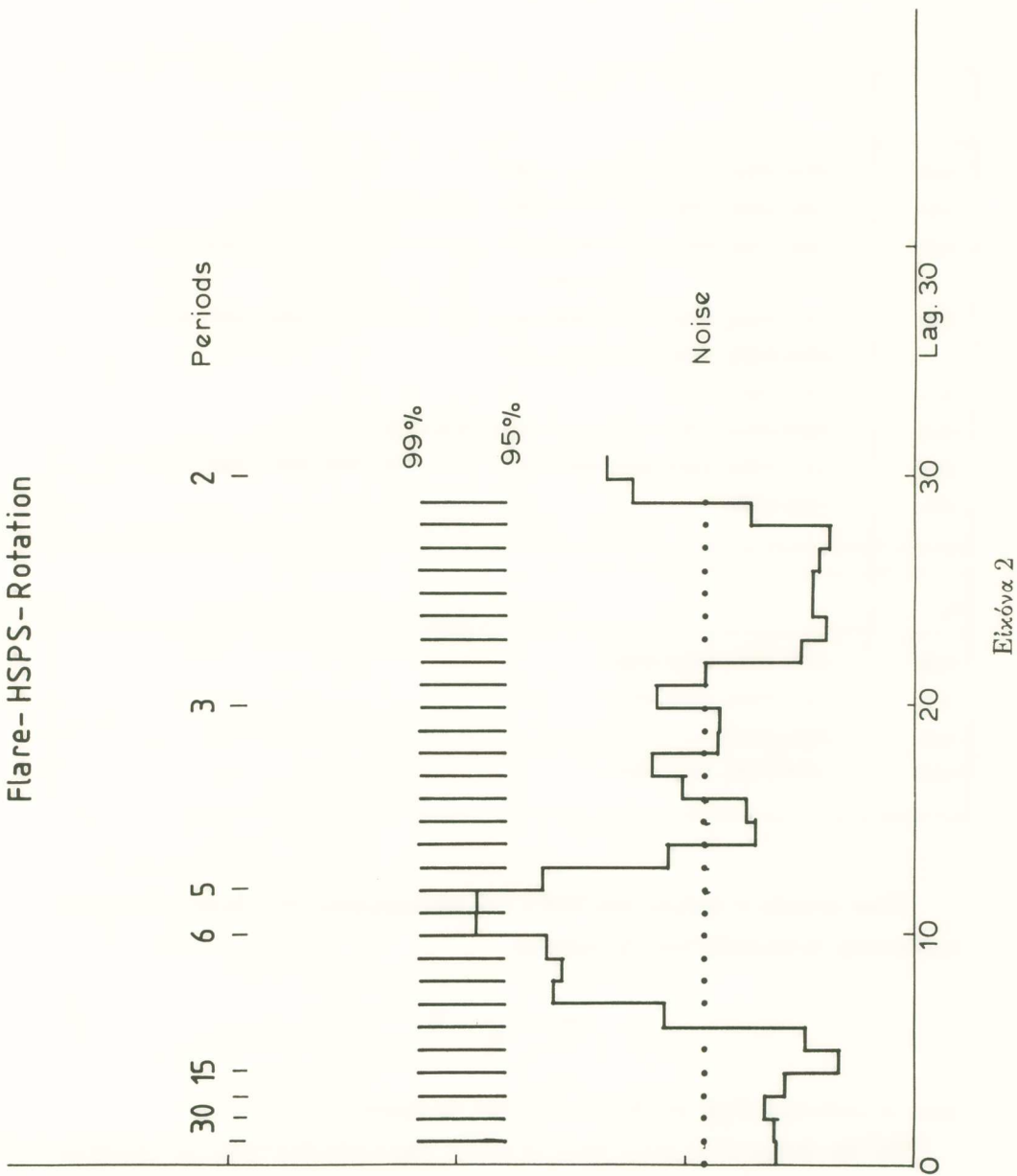
Οἱ περιοδικότητες αὐτὲς ἐμφανίζονται ὑπὸ μορφὴν πλέγματος περιοδικοτήτων ἐκ τῶν ὁποίων οἱ περισσότερες ἔχουν περίοδο 6 περιστροφῶν Bartel στατιστικῶς σημαντικές, ἐνῶ ἐλάχιστες ἔχουν περίοδο 3 περιστροφῶν Bartel στατιστικῶς μὴ σημαντικές.

Οὕτω οἱ περιοδικὲς μεταβολὲς βραχείας περιόδου παρίστανται ὑπὸ τῆς σχέσεως

$$W = a_n \sin \frac{2\pi}{6} t + b_n \sin \frac{2\pi}{3} t, \quad (4)$$

Ἡ θέση καὶ τὸ εῦρος τῶν περιοδικοτήτων παρέχονται ὑπὸ τοῦ πίνακος I





ΠΙΝΑΞ Ι

$$W = a_n \sin \frac{2\pi}{6} t + b_n \sin \frac{2\pi}{3} t$$

a_n	t
+0.6	1812-1824, 1975-1978, 1977-1980
-0.6	1823-1838, 1848-1851, 1850-1856, 1897-1903
+0.6	1835-1842, 1867-1873, 1871-1877, 1872-1875, 1902-1905, 1908-1913, 1850-1863
-1.0	1841-1844, 1845-1848, 1856-1863, 1858-1861, 1891-1894, 1895-1898, 1900-1909, 1934-1941, 1934-1940
-1.5	1879-1883
+1.5	1880-1883, 1893-1896, 1929-1932, 1932-1935
+2.0	1878-1882, 1910-1917, 1913-1919, 1917-1920, 1963-1970, 1965-1969
-3.0	1964-1970
b_n	t
-0.6	1813-1816, 1825-1828
-1.0	1852-1855, 1854-1857
-1.5	1819-1822
+1.5	1826-1830, 1829-1832

"Ετσι τελικώς δύο άριθμοίς τῶν HSPS τῶν προερχομένων από ήλιακές έκλαμψεις παρίσταται ἀναλυτικῶς ὑπὸ τῆς σχέσεως

$$F^{com} = F_{(5)}^{com} + W, \quad (5)$$

ὅπου οἱ ποσότητες $F_{(5)}^{com}$ καὶ W δίδονται απὸ τὶς σχέσεις (3) καὶ (4).

Εἰς τὴν εἰκόνα 1d οἱ μικροὶ ἀνοικτοὶ κύκλοι παριστοῦν τὸ πλήθος τῶν ρευμάτων πλάσματος ὑψηλῆς ταχύτητος τοῦ ήλιακοῦ ἀνέμου ποὺ παρέχουν οἱ παρατηρήσεις. 'Η διακεκομμένη γραμμὴ παριστᾶ τὶς ἀντίστοιχες τιμὲς ποὺ ὑπολογίζονται μὲ τὴ βοήθεια τῆς σχέσεως (5). "Οπως διαχρίνει κανείς, εἰς τρεῖς μόνον περιπτώσεις, ἥτοι

κατά τις περιστροφές Bartel Nos. 1853, 1888 και 1927, οι διαφορές μεταξύ των παρατηρουμένων τιμών και των ύπολογιζομένων τιμών ύπό της σχέσεως (5) είναι ± 1 .

Θὰ πρέπει ἐπίσης νὰ σημειώσουμε ότι ἡ ἀνάλυση αὐτὴ παρέχει τὰ δεδομένα τῆς παρατηρήσεως μὲ τὴ βοήθεια 108 παραμέτρων ἀφήνοντας δύμας 61 βαθμοὺς ἔλευθερίας.

2.2. Μεταβολὴ τῶν HSPS τῶν προερχομένων ἀπὸ στεμματικὲς ὄπες συναρτήσει τῶν περιστροφῶν Bartel

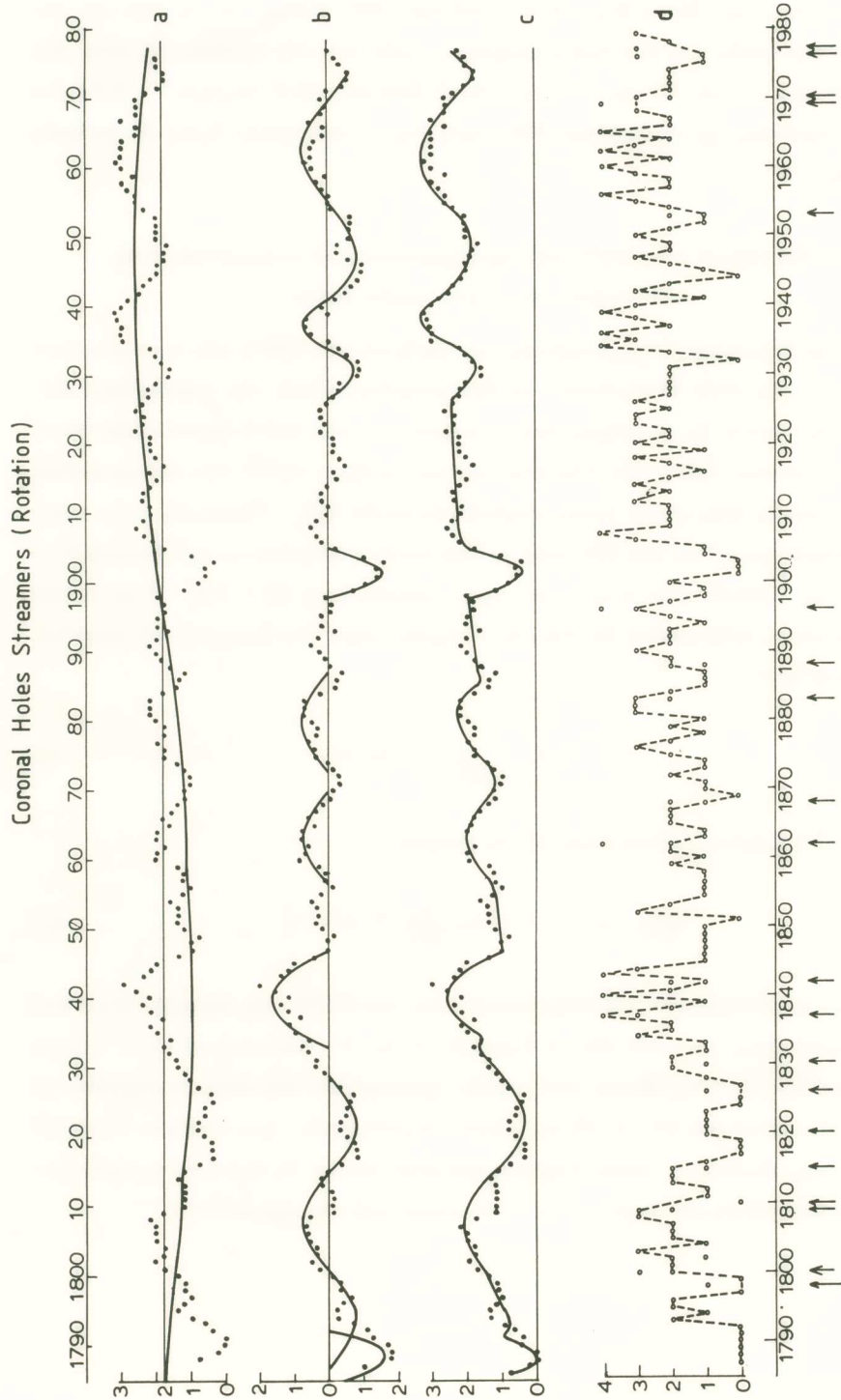
Γιὰ τὴν διερεύνηση τῆς μεταβολῆς τοῦ ἀριθμοῦ τῶν HSPS τῶν προερχομένων ἀπὸ στεμματικὲς ὄπες ἐφαρμόσαμε τὴ προηγουμένη μέθοδο τῆς παραγράφου 2.1. "Ετσι εἰς τὴν εἰκόνα 3α οἱ πλήρεις κύκλοι παριστοῦν τοὺς ἀνὰ 5 περιστροφές Bartel κινουμένους μέσους ὅρους τῶν παρατηρουμένων ἀριθμῶν HSPS τῶν προερχομένων ἀπὸ στεμματικὲς ὄπες καὶ οἱ ὁποῖοι συμβολίζονται ὡς $S_{H(5)}^{\text{obs}}$. "Οπως καὶ στὴν προηγούμενη περίπτωση ἔτσι καὶ ἐδῶ στὴν εἰκόνα αὐτὴ ὑποδηλώνεται μιὰ μακροχρόνια μεταβολὴ μὲ περίοδο 214 ἴσημεριῶν περιστροφῶν ἦτοι 16.1 ἔτη. Ἡ μεταβολὴ αὐτὴ σημειοῦται στὴν εἰκόνα 3α ὑπὸ τῆς συνεχοῦς καμπύλης γραμμῆς καὶ παρίσταται ὑπὸ τοῦ ὅρου

$$1.8 - 0.8 \sin \frac{2\pi}{214} (T-1787). \quad (6)$$

"Η εἰκόνα 3 (πλήρεις κύκλοι) παριστᾶ τὶς διαφορές

$$S_{H(5)}^{\text{obs}} - \left\{ 1.8 - 0.8 \sin \frac{2\pi}{214} (T-1787) \right\}. \quad (7)$$

"Οπως παρατηρήσαμε καὶ στὴν περίπτωση τῶν HSPS τῶν προερχομένων ἀπὸ ἥλιακὲς ἐκλάμψεις, ἔτσι καὶ ἐδῶ οἱ διαφορὲς αὐτὲς δὲν φαίνεται νὰ εἴναι τυχαῖες ἀλλὰ ἐμφανίζονται σποραδικῶς ὑπὸ μορφὴν ἡμιπεριόδων καὶ πλήρων περιόδων μὲ περίοδους ἀντιστοίχους 14 καὶ 28 ἴσημεριῶν περιστροφῶν, ἦτοι περίου 12 καὶ 24 μῆνες. Οἱ περιοδικότητες αὐτὲς παρίστανται στὴν εἰκόνα 3b ὑπὸ τῶν συνεχῶν ἡμιτονοειδῶν καμπύλων καὶ παρέχονται ἀναλυτικῶς ὑπὸ τῆς σχέσεως (8).

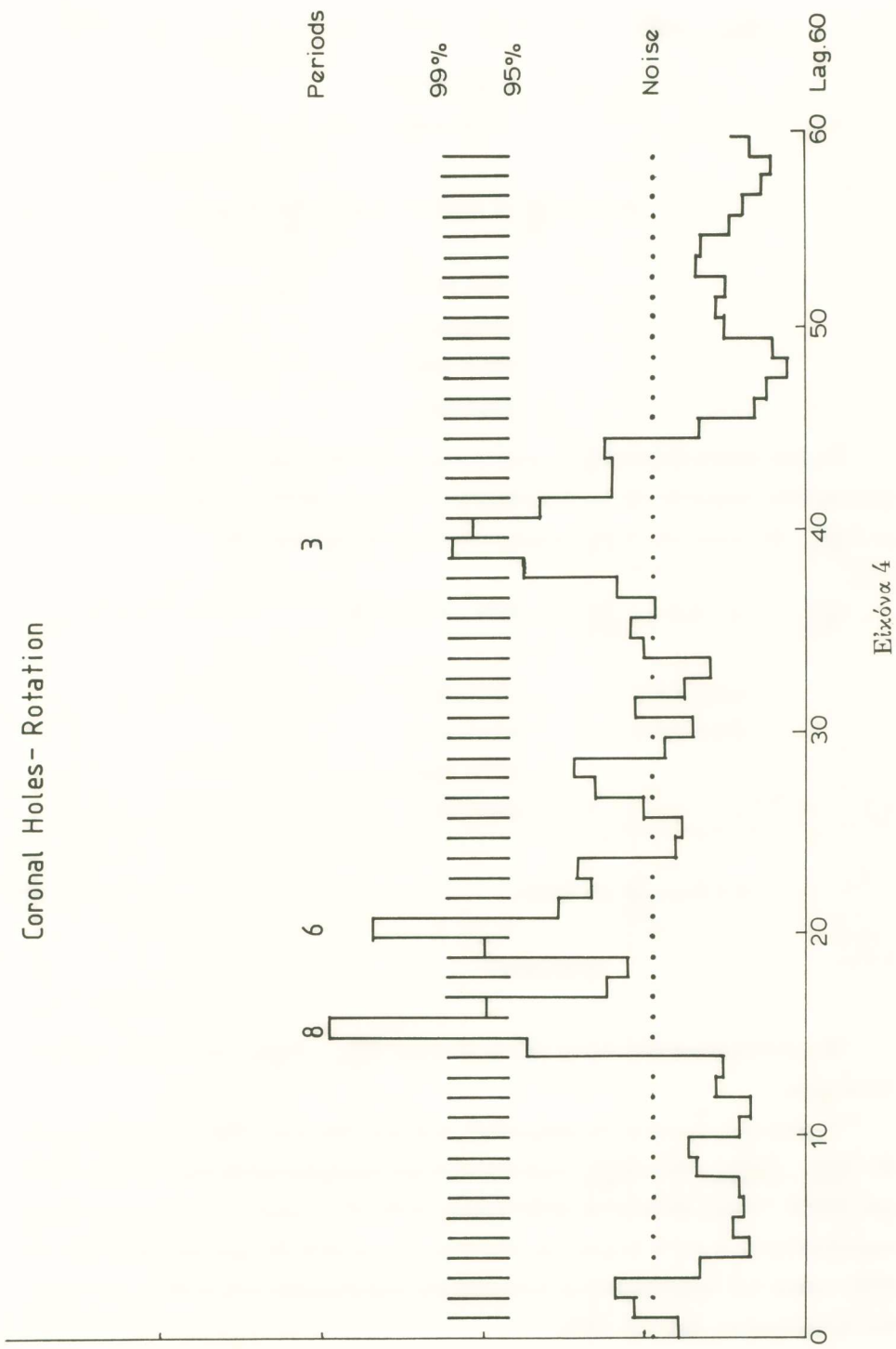


Εικόνα 3

Coronal Holes- Rotation

ΣΥΝΕΔΡΙΑ ΤΗΣ 12 ΜΑΡΤΙΟΥ 1987

199



$$S_{H(5)}^{obs} - S_{H(5)}^{com} = -1.6 \sin \frac{2\pi}{14} (T-1787) \pm$$

1785-1792
1898-1905

$$\pm 0.8 \sin \frac{2\pi}{28} (T-1787) + 1.6 \sin \frac{2\pi}{28} (T-1833). \quad (8)$$

-1787-1833	1833-1847
+1856-1870	
+1873-1887	
-1941-1974	

Εις τὴν εἰκόνα 3c οἱ πλήρεις κύκλοι παριστοῦν τὶς τιμὲς τῶν $S_{H(5)}^{ob}$, ἐνῶ ἡ συνεχῆς καμπύλη παριστᾶ τὴν ύπολογισθεῖσαν τιμὴν τῶν HSPS τὴν ὅποια παριστῶμεν μὲ $S_{H(5)}^{com}$. Οἱ τιμὲς τῶν $S_{H(5)}^{com}$ παρέχονται ὑπὸ τῆς σχέσεως (9).

$$S_{H(5)}^{obs} = 1.8 - 0.8 \sin \frac{2\pi}{214} (T-1787) - 1.6 \sin \frac{2\pi}{14} +$$

1785-1792	-1787-1833
1898-1905	+1856-1870
	+1873-1887
	-1941-1974

$$+ 1.6 \sin \frac{2\pi}{28} (T-1833) \quad (9)$$

1833-1847

*H s.d (Standard deviation) τῆς ποσότητος $S_{H(5)}^{ob} - S_{H(5)}^{com}$ εὑρέθη ἵση πρὸς $\sigma = \pm 0.4$ units.

Η εἰκόνα 4 παριστᾶ τὴν φασματικὴν ἀνάλυση (Mitchel, 1966)²⁰ τῶν διαφορῶν $W = S_{H(5)}^{obs} - S_{H(5)}^{com}$, ὅπου $S_{H(5)}^{obs}$ παριστᾶ τὸ παρατηρούμενο κατὰ περιστροφὴν πλῆθος τοῦ HSPS. "Οπως δεικνύεται στὴν εἰκόνα αὐτὴ, οἱ διαφορὲς αὐτὲς παρουσιάζουν περιοδικότητες 6 καὶ 8 ἵσημερινῶν περιστροφῶν σὲ ἐπίπεδο ἐμπιστοσύνης ἄνω τοῦ 99%, καθὼς καὶ περιοδικότητες 3 ἵσημερινῶν περιστροφῶν στὴ στάθμη τοῦ ἐπιπέδου ἐμπιστοσύνης ἄνω τοῦ 95%.

Ούτω οι περιοδικές μεταβολές βραχείας περιόδου παρίστανται ύπό της σχέσεως 10.

$$W = a_n \sin \frac{2\pi}{8} t + b_n \sin \frac{2\pi}{6} t + c_n \sin \frac{2\pi}{3} t. \quad (10)$$

Η θέση και τὸ εῦρος τῶν περιοδικοτήτων αὐτῶν παρέχονται ύπὸ τοῦ πίνακος II.

ΠΙΝΑΞ II

$$W = a_n \sin \frac{2\pi}{8} t + b_n \sin \frac{2\pi}{6} t + c_n \sin \frac{2\pi}{3} t$$

a_n	t
+1.0	1812-1833, 1863-1875, 1922-1930, 1927-1931
-1.0	1876-1896
-2.0	1942-1950

b_n	t
+1.0	1974-1800, 1807-1813, 1851-1860, 1854-1858, 1860-1863, 1894-1900, 1898-1904, 1911-1914, 1948-1957, 1971-1977
-1.0	1796-1802, 1872-1878, 1904-1907, 1965-1974
+3.0	1833-1836, 1905-1908, 1932-1935
-3.0	1931-1934

c_n	t
-1.0	1791-1794, 1850-1853, 1912-1921, 1916-1919, 1924-1927, 1960-1966
+1.0	1802-1805, 1843-1846, 1878-1881, 1935-1942, 1934-1943

Εἰς τὴν εἰκόνα 3d οἱ μικροὶ ἀνοικτοὶ κύκλοι παριστοῦν τὸ παρατηρηθὲν πλῆθος τῶν HSPS, S_H^{obs} , τῶν ρευμάτων τῶν προερχομένων ἀπὸ στεμματικές ὄπες, ἡ δὲ διακεκομμένη γραμμὴ τὶς ύπολογιζόμενες τιμές ύπὸ τῆς σχέσεως (11)

$$S_{H(5)}^{com} = S_{H(5)}^{obs} + W. \quad (11)$$

"Οπως είναι εύκολο νὰ διαχρίνει κανεὶς στὴν εἰκόνα 3d σὲ δλίγες μόνον περιπτώσεις οἱ διαφορὲς μεταξὺ $S_{H(5)}^{obs}$ καὶ $S_{H(5)}^{com}$ είναι ± 1 ή ± 2 . Ο ἀριθμὸς τῶν περιστροφῶν στὶς ὁποῖες παρουσιάζονται οἱ διαφορὲς αὐτὲς δεικνύεται ἀπὸ τὰ βέλη ποὺ σημειοῦνται στὸ κάτω μέρος τῆς εἰκόνας 3d.

Θὰ πρέπει νὰ σημειωθεῖ τέλος, πὼς ἡ ἀνάλυση αὐτὴ τῶν δεδομένων τῆς παρατηρήσεως περιέχει 102 παραμέτρους μὲ 82 βαθμοὺς ἐλευθερίας.

2.3. Περιοδικότητες τῶν μηνιαίων τιμῶν τῶν HSPS τῶν προερχομένων ἀπὸ στεμματικὲς ὄπες.

"Οπως ἔχουμε ἥδη σημειώσει στὶς παραγράφους 2.1. καὶ 2.2. ἐπειδὴ ὁ κατάλογος ποὺ παρέχει τὸν ἀριθμὸ τῶν HSPS παρουσιάζει ἀρκετὰ κενὰ δηλαδὴ ἔλλειψη παρατηρήσεων, θεωρήσαμε σκόπιμο γιὰ τὴν ἀναλυτικὴ μελέτη τῶν HSPS νὰ λάβομε ἀντὶ τοῦ πραγματικοῦ ἀριθμοῦ τῶν HSPS τοὺς ἀριθμοὺς αὐτῶν τοὺς ληφθέντες μὲ τὴ βοήθεια τῶν 5-μηνῶν κινητῶν μέσων ὅρων σημειουμένων ὡς $C_{H(5)}^{obs}$. Ἡ ποσότης αὐτὴ δύναται νὰ θεωρηθεῖ ὅτι παριστᾶ τὴ μέση μεταβολὴ τῶν HSPS συναρτήσει τοῦ χρόνου μὲ μονάδα τὸ μήνα.

Τὰ δεδομένα τοῦ ὑπολογισμοῦ παρέχονται στὴν εἰκόνα 5a ὑπὸ τῶν πλήρων κύκλων. Στὴν εἰκόνα αὐτὴ είναι δυνατὸν νὰ διαχρίνει κανεὶς μία πιθανὴ μακρὰ μεταβολὴ μὲ περίοδο 192 μηνῶν ἥτοι 16 ἔτῶν. Ἡ μακρὰ αὐτὴ μεταβολὴ παρίσταται ἀναλυτικῶς ὑπὸ τοῦ ὅρου

$$2.2 - 1.2 \sin \frac{2\pi}{192} (T-1963I), \quad (12)$$

καὶ δεικνύεται στὴν εἰκόνα 5a ὑπὸ τῆς συνεχοῦς καμπύλης γραμμῆς.

Οἱ πλήρεις κύκλοι στὴν εἰκόνα 5b παριστοῦν τὶς διαφορὲς

$$C_{H(5)}^{obs} - [2.2. - 1.2 \sin \frac{2\pi}{192} (T-1963I)]. \quad (13)$$

"Οπως είναι φανερό, οἱ διαφορὲς αὐτὲς δὲν είναι τυχαῖες ἀλλὰ ἐμφανίζονται σποραδικῶς ὑπὸ μορφὴν ἡμιπεριόδων, οἱ ὁποῖες παρίστανται στὴν εἰκόνα 5 ὑπὸ τῶν συνεχῶν ἡμιτονοειδῶν καμπύλων. Οἱ περίοδοι τῶν μεταβολῶν αὐτῶν φαίνεται νὰ είναι σταθερὲς καὶ ἵσες μὲ 36, 24 καὶ 12 μῆνες. Ἀναλυτικῶς οἱ περιοδικότητες

αὐτὲς παρέχονται ὑπὸ τῆς σχέσεως

$$C_{H(5)}^{\text{obs}} - C_{H(5)}^{\text{com}} = 1.0 \sin \frac{2\pi}{36} (\text{T-1963IV}) + 1.5 \sin \frac{2\pi}{36} (\text{T-1967III}) +$$

1963IV-1966IX 1967III-1968IX

$$+ 0.6 \sin \frac{2\pi}{12} (\text{T-1969VI}) - 2.0 \sin \frac{2\pi}{36} (\text{T-1967XII}) -$$

1966IV-1971X 1967XII-1973V

$$- 1.0 \sin \frac{2\pi}{24} (\text{T-1973II}) - 1.0 \sin \frac{2\pi}{36} (\text{T-1974I}) -$$

1973II-1974II 1974I-1975VII

$$- 1.0 \sin \frac{2\pi}{24} (\text{T-1975VII}) \quad (13)$$

1975VI-1976VII

"Ετσι τὴ μέση μεταβολὴ τῆς ποσότητος $C_{H(5)}^{\text{com}}$ δυνάμεθα νὰ τὴν παραστήσομε ἀναλυτικῶς μὲ τὴ βοήθεια τῆς σχέσεως 14

$$C_{H(5)}^{\text{com}} = 2.2 - 1.2 \sin \frac{2\pi}{192} (\text{T-1963I}) - 1.0 \sin \frac{2\pi}{36} (\text{T-1963IV}) +$$

1963IV-1966IX

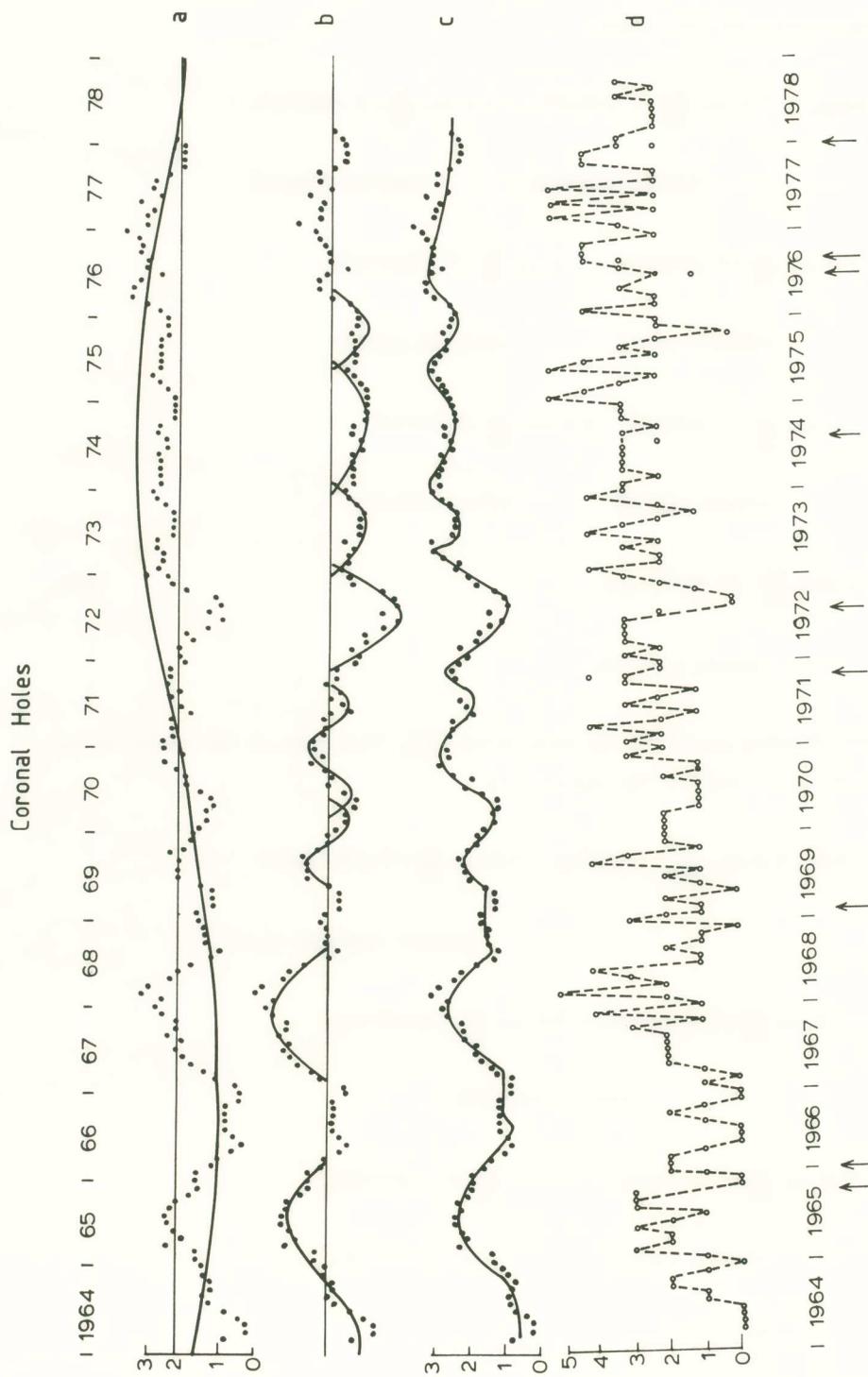
$$+ 1.5 \sin \frac{2\pi}{36} (\text{T-1967III}) + 0.6 \sin \frac{2\pi}{12} (\text{T-1969VI}) -$$

1969VI-1970XII

$$- 0.6 \sin \frac{2\pi}{12} (\text{T-1966IV}) - 2.0 \sin \frac{2\pi}{36} (\text{T-1967XII}) -$$

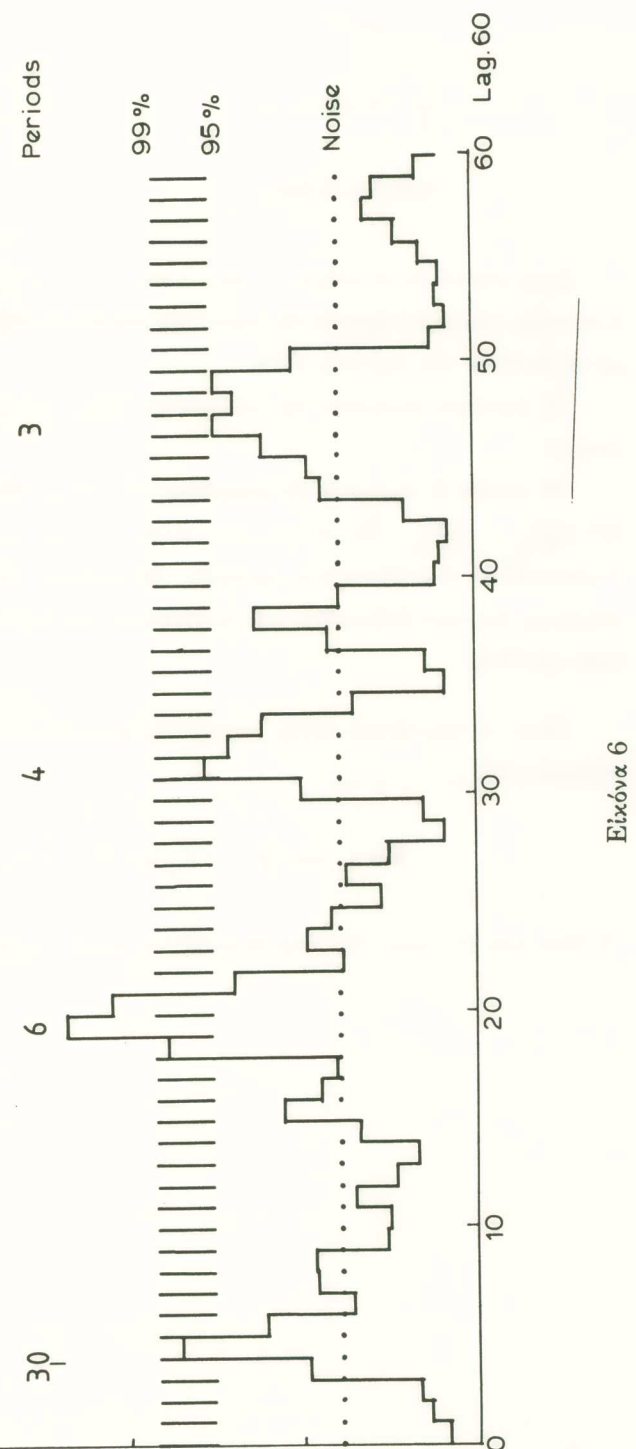
1966IV-1971X 1967XII-1973V

$$- 1.0 \sin \frac{2\pi}{24} (\text{T-1973II}) - 1.0 \sin \frac{2\pi}{36} (\text{T-1974I}) -$$



Εικόνα 5

Coronal Holes (monthly values)



Εικόνα 6

1973II-1974II 1974I-1975II

$$- 1.0 \sin \frac{2\pi}{24} \text{ (T-1975VI)} \quad (13)$$

1975VI-1976VI

Στήν εἰκόνα 5c οι πλήρεις κύκλοι παριστοῦν τίς τιμές τῆς ποσότητος $C_{H(5)}^{obs}$, ἐνῶ ἡ συνεχής γραμμή παριστᾶ τίς τιμές τῆς ποσότητος $C_{H(5)}^{obs}$ οἱ ὁποῖες ὑπολογίζονται μὲ τὴ βοήθεια τῆς σχέσεως (14).

‘Η standard deviation τῆς ποσότητος $C_{H(5)}^{obs}$ - $C_{H(5)}^{com}$ εὑρέθη ἵση μὲ $\sigma = \pm 0.1$ unmits.

‘Η εἰκόνα 6 παριστᾶ τὴ φασματικὴ ἀνάλυση (Mitchel, 1966) τῶν διαφορῶν $W = C_{H(5)}^{obs} - C_{H(5)}^{com}$. Ἐκ τῆς εἰκόνος αὐτῆς γίνεται φανερὸ πώς οἱ διαφορὲς αὐτὲς παρουσιάζουν περιοδικότητες βραχεῖες τῆς τάξεως τῶν 6 μηνῶν σὲ ἐπίπεδο ἐμπιστοσύνης ἄνω τοῦ 99% καθὼς καὶ περιόδους 4 καὶ 3 μηνῶν σὲ ἐπίπεδο ἐμπιστοσύνης ἄνω τοῦ 95%.

Οὕτω οἱ περιοδικὲς αὐτὲς μεταβολὲς βραχείας περιόδου παρίστανται ὑπὸ τῆς σχέσεως (15)

$$W = a_n \sin \frac{2\pi}{6} t + b_n \sin \frac{2\pi}{4} t + c_n \sin \frac{2\pi}{3} t \quad (15)$$

‘Η θέση καὶ τὸ εὔρος τῶν περιοδικοτήτων αὐτῶν παρέχονται ὑπὸ τοῦ πίνακος III

ΠΙΝΑΞ III

$$W = a_n \sin \frac{2\pi}{6} + b_n \sin \frac{2\pi}{4} + c_n \sin \frac{2\pi}{3}$$

 a_n

-1.0 1964II-64V, 1964IV-64X, 1966IV-67I, 1966VI-66IX, 1967XI-8VIII,
1969V-69XI, 1970XI-71I, 1972VII-73I, 1977IV-77VII

+1.0

1965VII-1966X, 1972XI-73II, 1974IX-74XII, 1977I-76X, 1977II-77V

-1.5

1970VII-1970X

+1.5

1972II-72V, 1977VI-77IX

+2.0

1971IV-71VII, 1975X-76IV

+2.5

1974XII-75III

-2.0

1975IX-75XII

 b_n

t

+1.0 1964IX-65III, 1965IV-65VII, 1971VIII-72II, 1972XII-73IV,

-1.0 1973-67V, 1971VII-72I, 1975I-75V, 1976IX-77I

+1.5

1967X-68II, 1967XII-68VI

-1.5

1967IX-68I, 1969III-69VII

-2.0

1967X-68III

+2.0

1969VIII-69XI

 c_n

t

-1.0 1971I-71VII

+1.0 1975VI-75VIII

-1.5 1968X-69I, 1973IV-73VII

-2.0 1975III-75VI, 1975XI-76II

+2.0 1976I-76IV

Κατά τὸν τρόπον αὐτὸν ὁ ἀριθμὸς τῶν HSPS δύναται νὰ παρασταθεῖ ἀναλυτικῶς
ἕπτὸς τῆς σχέσεως (16)

$$C_H^{\text{com}} = C_{H(5)}^{\text{com}} + W, \quad (16)$$

Στὴν εἰκόνα 5d οἱ ἀνοικτοὶ κύκλοι παριστοῦν τὸ πλῆθος C_H^{obs} τῶν ρευμάτων
πλάσματος ὑψηλῆς ταχύτητος τοῦ ἡλιακοῦ ἀνέμου ποὺ παρέχουν οἱ παρατηρήσεις,

ένω ή διακεκομμένη γραμμή παριστά τις άντιστοιχες τιμές τῶν HSPS οι οποίες ύπολογίζονται μὲ τὴ βοήθεια τῆς σχέσεως (16).

"Οπως φαίνεται στὴν εἰκόνα 5d, σὲ ὀλίγες μόνον περιπτώσεις οἱ διαφορὲς μεταξὺ τῶν παρατηρουμένων καὶ τῶν ύπολογίζομένων τιμῶν τῶν C_H εἰναι ± 1 . Τὶς περιπτώσεις αὐτὲς δεικνύουν τὰ βέλη κάτωθεν τῆς εἰκόνος 5d.

Θὰ πρέπει τέλος νὰ ἀναφερθεῖ πὼς ἡ παρούσα ἀνάλυση περιέχει 171 παραμέτρους ἀφήνοντας 50 βαθμοὺς ἐλευθερίας. Ἐκ τῶν ἀνωτέρω φαίνεται ὅτι τὰ HSPS ποὺ προέρχονται ἀπὸ τὶς ἡλιακὲς ἐκλάμψεις καὶ τὶς στεμματικὲς ὥπες παρουσιάζουν διάφορες περιοδικότητες, δηλ. εἰς μὲν τὴν πρώτη περίπτωση ἡ μὲν μακρὰ περιοδικότης εἰναι 192 περιφορὲς Bartel ἥτοι 11 περίπου ἔτη, δηλ. ὅση καὶ ἡ ἐνδεκαετὴς περίοδος τῆς ἡλιακῆς δραστηριότητος, εἰς δὲ τὴν δεύτερη περίπτωση εἰναι 214 περιφορὲς Bartel ἥτοι 16 ἔτη.

'Επίσης ἔνω εἰς τὴν πρώτη περίπτωση (ἐκλάμψεων) ἡ περιοδικότης εἰναι 14 καὶ 6 περιστροφὲς Bartel, ἥτοι 12 καὶ 4 μῆνες περίπου. Εἰς τὴ δεύτερη περίπτωση (στεμματικὲς ὥπες) οἱ περιοδικότητες εἰναι 36, 24, 12, 6, 4 καὶ 3 μῆνες.

3. ΜΕΤΑΒΟΛΗ ΤΟΥ ΟΛΙΚΟΥ ΑΡΙΘΜΟΥ ΤΩΝ ΜΗΝΙΑΙΩΝ ΤΙΜΩΝ

'Ενταῦθα ἔξετάζουμε τὴν ἐμφάνιση πιθανῶν περιοδικοτήτων τοῦ ὀλικοῦ ἀριθμοῦ τῶν ρευμάτων ὑψηλῆς ταχύτητος τοῦ ἡλιακοῦ ἀνέμου. Δηλαδὴ ἀναλύομε τὸν ὀλικὸ ἀριθμὸ τῶν HSPS μὴ λαμβάνοντας ὑπ' ὅψη τὴν πηγὴ τῆς προελεύσεώς των βασιζόμενοι εἰς τὴ μέθοδο τὴν ὁποίᾳ ἐφαρμόσαμε καὶ στὶς προηγούμενες παραγράφους.

Στὴν εἰκόνα 7α τὰ δεδομένα τῶν παρατηρήσεων παρίστανται ὑπὸ τῶν πλήρων κύκλων (οἱ τιμὲς τοῦ T^{obs} (5)). Ἐκ τῆς εἰκόνος αὐτῆς καθίσταται φανερὴ μία μακροχρόνια μεταβολὴ τοῦ ὀλικοῦ ἀριθμοῦ τῶν HSPS ἵση μὲ 192 μῆνες, ἥτοι ἵση πρὸς 16 ἔτη. Τὴν μακρόχρονη αὐτὴ μεταβολὴ παραστήσαμε στὴν εἰκόνα 7α μὲ τὴ συνεχὴ καμπύλη γραμμὴ καὶ ἡ ὁποίᾳ δύναται νὰ παρασταθεῖ ὑπὸ τοῦ ὄρου

$$2.7 - 0.6 \sin \frac{2\pi}{192} (T-1963I). \quad (17)$$

Οἱ πλήρεις κύκλοι τῆς εἰκόνος 7 παριστοῦν τὶς διαφορὲς

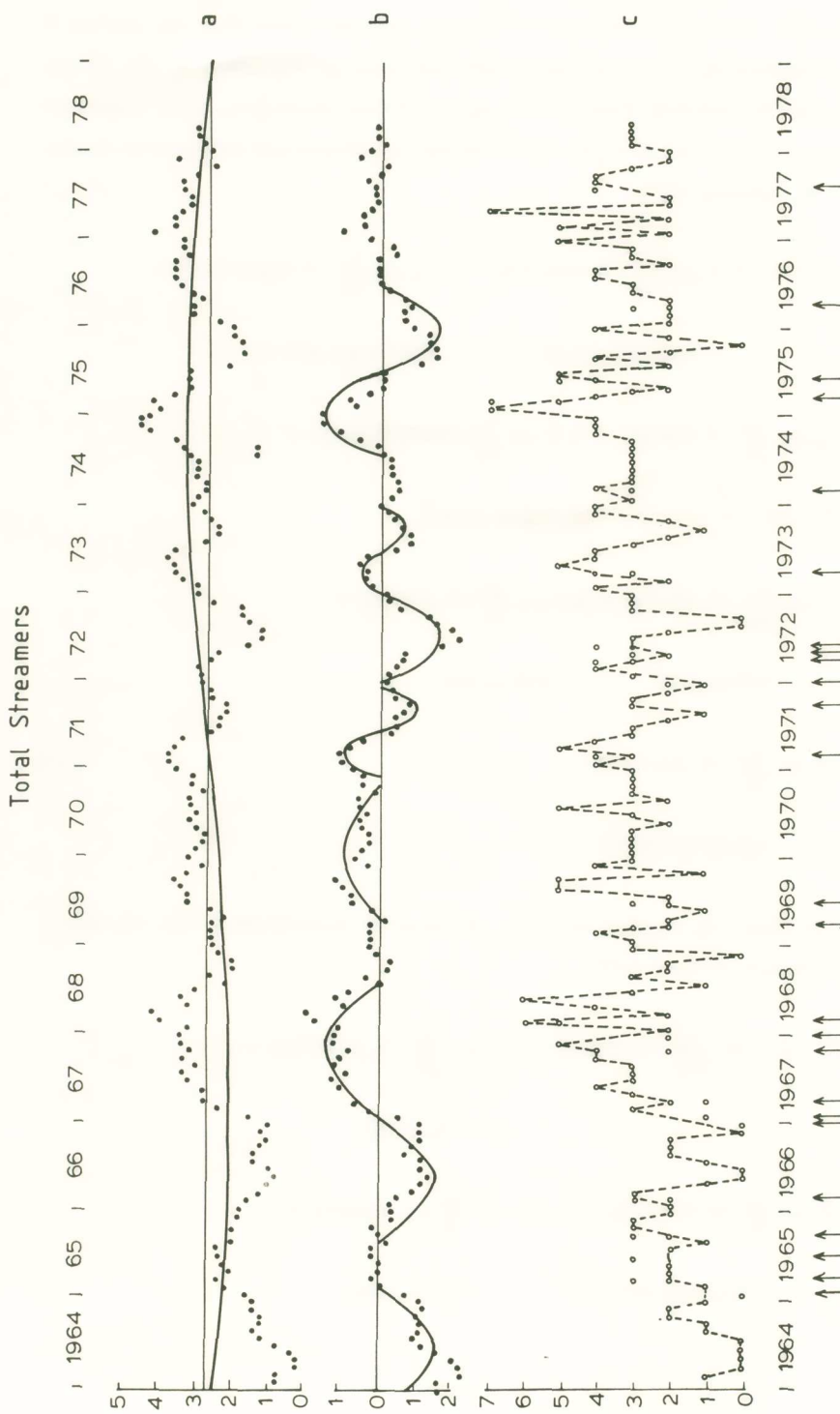
$$T_{S(5)}^{obs} - [2.7 - 0.6 \sin \frac{2\pi}{192} (T-1963)] \quad (18)$$

Οι διαφορές αύτές, όπως δεικνύεται ύπό τῶν συνεχῶν καμπύλων τῆς εἰκόνος 7, φαίνεται νὰ παρουσιάζουν σποραδικές περιοδικότητες μὲ περιόδους 3, 24, 12 μηνῶν, ἥτοι τριῶν δύο καὶ ἑνὸς ἔτους ἀντιστοίχως. Οι περιοδικότητες αύτές παρίστανται στὴν εἰκόνα 7 ύπό τῶν συνεχῶν ἡμιτονοειδῶν καμπύλων καὶ παρέχονται ἀναλυτικῶς ὑπὸ τῆς σχέσεως (19).

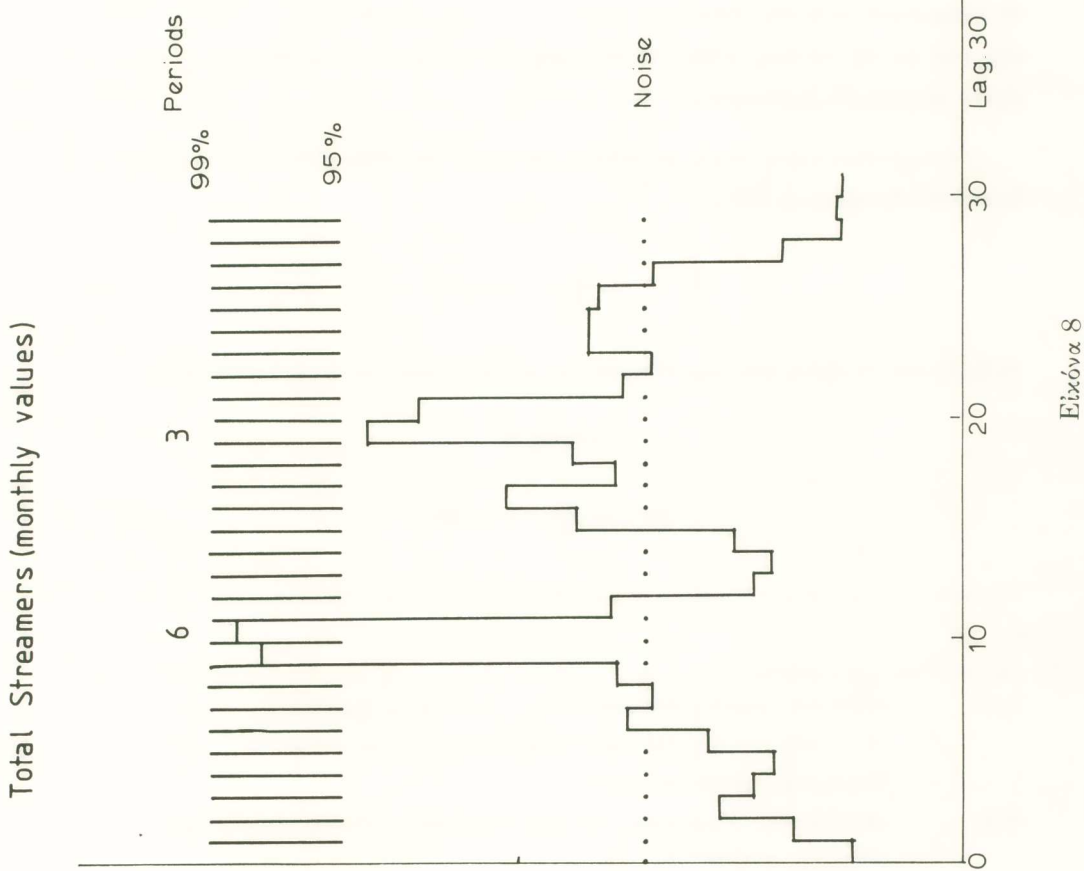
$$\begin{aligned}
 T_{S(5)}^{\text{obs}} - T_{S(5)}^{\text{com}} = & -1.5 \sin \frac{2\pi}{36} (\text{T-1963IX}) - 1.5 \sin \frac{2\pi}{36} (\text{T-1965VIII}) + \\
 & 1963\text{IX}-65\text{III} \quad 1965\text{VIII}-68\text{VIII} \\
 & + 1.0 \sin \frac{2\pi}{36} (\text{T-1969V}) + 1.2 \sin \frac{2\pi}{12} (\text{T-1970XII}) - \\
 & 1970\text{XII}-71\text{XII} \\
 & - 1.5 \sin \frac{2\pi}{24} (\text{T-1972I}) + 0.6 \sin \frac{2\pi}{12} (\text{T-1973I}) + \\
 & 1972\text{I}-73\text{I} \quad 1973\text{I}-74\text{I} \\
 & + 1.5 \sin \frac{2\pi}{24} (\text{T-1974VII}) \tag{19} \\
 & 1974\text{VII}-76\text{VII}
 \end{aligned}$$

"Ετσι οἱ τιμὲς τῆς ποσότητος $T_{S(5)}^{\text{com}}$ δύναται νὰ ύπολογισθοῦν διὰ τῆς ἀθροίσεως τῶν σχέσεων (17) καὶ (19).

$$\begin{aligned}
 T_{S(5)}^{\text{com}} = & 2.7 - 0.6 \sin \frac{2\pi}{192} (\text{T-1963I}) - 1.5 \sin \frac{2\pi}{36} (\text{T-1963IX}) - \\
 & 1963\text{IX}-65\text{III} \\
 & - 1.5 \sin \frac{2\pi}{36} (\text{T-1965VIII}) + 1.0 \sin \frac{2\pi}{36} (\text{T-1969V}) + \\
 & 1965\text{VIII}-68\text{VIII} \quad (1969-70\text{X}) \\
 & + 1.2 \sin \frac{2\pi}{12} (\text{T-1970XII}) - 1.5 \sin \frac{2\pi}{24} (\text{T-1972I}) +
 \end{aligned}$$



Επιχόνια 7



1970XII-71XII 1972I-73I

$$+ 0.6 \sin \frac{2\pi}{12} (T-1973I) + 1.5 \sin \frac{2\pi}{24} (T-1974VII). \quad (20)$$

1973I-74I 1974VII-76VII

Η τυπική απόκλιση ύπελογίσθη ίση πρὸς $\sigma = \pm 0.4$ units. Η εἰκόνα 8 παριστά τὴ φασματικὴ ἀνάλυση (Mitchel, 1966) τῶν διαφορῶν $W = T_{S(5)}^{\text{obs}} - T_{S(5)}^{\text{com}}$. Οπως φαίνεται ἐξ τῆς εἰκόνος αὐτῆς, οἱ διαφορὲς παρουσιάζουν περιοδικότητες 6 καὶ 3 μηνῶν σὲ ἐπίπεδο ἐμπιστοσύνης ἄνω τοῦ 99%.

Οἱ περιοδικότητες αὐτὲς μεταβολὲς βραχείας περιόδου δύνανται νὰ παρασταθοῦν ὑπὸ τῆς σχέσεως (21).

$$W = a \sin \frac{2\pi}{6} t + b \sin \frac{2\pi}{3} t. \quad (21)$$

τὴ θέση καὶ τὸ εῦρος τῶν περιοδικοτήτων αὐτῶν εὑρίσκομε ἐξ τοῦ πίνακος IV.

ΠΙΝΑΞ IV

$$W = a \sin \frac{2\pi}{6} t + b \sin \frac{2\pi}{3} t$$

	a	t
-1.0	1964II-64V, 1964IV-64VII, 1965II-65VI, 1966IV-67IV, 1967II-67V 1971X-72IV, 1973VII-74II, 1973VIII-73XI, 1974VII-74X, 1974X-75I 1976XI-77II, 1977IV-78I	
+1.0	1964VIII-65XI, 1965XI-66II, 1967III-67VI, 1970XII-1971XII, 1971III-71XII 1972X-73I, 1976VII-76X	
-1.5	1967XI-68V	
-2.0	1975V-75VII, 1976IX-76XII	
+2.0	1966I-66IV, 1969I-69XI, 1972IV-72X, 1976IX-76XII	
+2.5	1974XII-75VI, 1975X-76II	
-2.5	1975I-75VII, 1975IX-75XII	
+3.0	1977I-77IV	

b	t
-1.0	1968VI-68IX, 1968XI-69III
+1.0	1969V-69VIII, 1972XII-73IV, 1978II-78V
-1.5	1969IX-69XII, 1971II-71IV
-2.0	1968X-69I
-2.5	1964IX-69XII
-3.5	1977II-77V
+3.0	1968I-68V, 1970VI-71IX
+2.0	1970VI-70X

"Ετσι ού δύναται νὰ παρασταθεῖ ἀναλυτικῶς ὑπὸ τῆς σχέσεως (22).

$$T_S^{\text{com}} = T_{S(5)}^{\text{com}} + W, \quad (22)$$

ὅπου τὰ $T_{S(5)}^{\text{com}}$ καὶ W παρέχονται ἀντιστοίχως ὑπὸ τῶν σχέσεων (20) καὶ (21).

Τέλος στὴν εἰκόνα 7c οἱ ἀνοικτοὶ κύκλοι παριστοῦν τὸ ὄλικὸ πλῆθος τῶν HSPS, ἀνεξαρτήτως πηγῆς προελεύσεώς των ποὺ παρέχουν οἱ παρατηρήσεις, ἐνῶ ἡ διακεκομμένη γραμμὴ παριστᾶ τὶς ἀντίστοιχες τιμὲς τῶν HSPS τὶς ὑπολογιζόμενες ὑπὸ τῆς σχέσεως (22).

"Οπως φαίνεται ἐκ τῆς εἰκόνος αὐτῆς σὲ ὄλιγας μόνον περιπτώσεις οἱ διαφορὲς μεταξὺ τῶν παρατηρουμένων καὶ τῶν ὑπολογιζόμενων τιμῶν τῶν T_S εἶναι ± 1 .

Τὰ βέλη κάτωθεν τῆς εἰκόνος 7c δεικνύουν τὶς περιπτώσεις αὐτές.

'Ο ἀριθμὸς τῶν παραμέτρων στὴν περίπτωση τοῦ ὄλικοῦ ἀριθμοῦ τῶν HSPS εἶναι ἵσος μὲ 171, ἐνῶ παρέχονται 50 βαθμοὶ ἐλευθερίας.

ΣΥΜΠΕΡΑΣΜΑΤΑ

'Ἐκ τῆς ἀνωτέρω στατιστικῆς ἀναλύσεως συνάγεται ὅτι ἡ συχνότης τοῦ ἡλιακοῦ πλάσματος μεγάλης ταχύτητος παρουσιάζει, πιθανῶς, περιοδικὲς μεταβολές.

Οἱ περιοδικότητες αὐτές εἶναι διάφοροι γιὰ τὸ ἡλιακὸ πλάσμα ποὺ προέρχονται ἀπὸ τὶς ἐκλάμψεις (Solar flares) καὶ ἀπὸ τὶς στεμματικὲς ὄπες (Coronal Holes). Πράγματι ἡ περιοδικότης τοῦ ἡλιακοῦ πλάσματος μεγάλης ταχύτητος ποὺ προέρχεται ἀπὸ τὶς στεμματικὲς ὄπες (Solar Flares) εἶναι περίπου 11 ἔτη, δηλαδὴ ὅση

είναι ή ένδεκαετής περίοδος της ήλιακης δραστηριότητος, ένω ή περιοδικότης που άντιστοιχεῖ στο ήλιακό πλάσμα καὶ προέρχεται ἀπὸ τις στεμματικές ὄπες (Coronal Holes) είναι δεκαέξι περίπου ἔτη καὶ παρουσιάζει άντιθετη φάση μὲ τὴν προηγούμενη.

Οὕτω πιθανῶς ἔξηγεῖται ή ύπὸ τοῦ Simon (1980) εὑρεθεῖσα θετικὴ συσχέτιση μεταξὺ τοῦ ἀριθμοῦ R_z ποὺ προέρχεται ἀπὸ ισχυρὰ κέντρα δράσεως τοῦ 'Ηλίου, ένω μεταξὺ τῶν ἀριθμῶν R_z καὶ τοῦ ήλιακοῦ πλάσματος ποὺ προέρχεται ἀπὸ τις στεμματικές ὄπες (Coronal Holes) εὑρέθη ἀρνητικὴ συσχέτιση.

Ἐκτὸς τῶν περιοδικῶν τούτων μεταβολῶν μακρᾶς περιόδου, φαίνεται νὰ ὑπάρχουν καὶ ἄλλες βραχύτερες περιοδικότητες μὲ περίοδους 12 καὶ 4 μηνῶν γιὰ τὸ ήλιακὸ πλάσμα ποὺ προέρχεται ἀπὸ τὰ Solar Flares, ένω οἱ ἀντίστοιχες περιοδικότητες ποὺ ἀντιστοιχοῦν στὸ ήλιακὸ πλάσμα τῶν στεμματικῶν ὄπῶν είναι 36, 24, 12, 6, 4 καὶ 3 μῆνες.

Πρέπει νὰ σημειωθεῖ ὅτι οἱ μεταβολὲς τῶν 12, 24, καὶ 36 μηνῶν ἐμφανίζονται κυρίως ύπὸ μορφὴ ἡμιπεριόδου, ένω οἱ βραχεῖς μεταβολὲς 3 ἕως 6 μηνῶν ἐμφανίζονται πλήρεις μὲν ἀλλὰ ύπὸ μορφὴ πλέγματος, ἐπικαθήμενες ἐν μέρει ή μία ἐπὶ τῆς ἄλλης.

Φυσικὰ τὰ ἀνωτέρω ἔξαγόμενα παρέχονται ύπὸ μορφὴ ἐνδείξεων, διότι τὸ βραχὺ χρονικὸ διάστημα τῶν παρατηρήσεων δὲν μᾶς ἐπιτρέπει νὰ διαπιστώσουμε κατὰ τρόπο ἀναμφισβήτητο τὶς παραπάνω εὑρεθεῖσες περιοδικές μεταβολές, περιόδου 12 καὶ 16 ἔτῶν.

Εἶναι ἄξιον σημειώσεως ὅτι ή ὑπαρξὴ τῶν περιοδικοτήτων, τῶν 24 μηνῶν ποὺ παρουσιάζει ὁ ἀριθμὸς ὅσον καὶ ἀπὸ τὶς στεμματικές ὄπες ἥδυνατο ἵσως νὰ συνδυασθεῖ μὲ τὴν περιοδικότητα τῶν δύο ἔτῶν ποὺ διατύπωσε ὁ Shapiro (1962) ἀπὸ τὴν ἀνάλυση τῶν ἀριθμῶν R_z τῶν ήλιακῶν αῃλίδων γιὰ τὴν χρονικὴ περίοδο 1856-1955. Τὴν αὐτὴ δὲ περίοδο εύρισκε ὁ Sakurai (1979) ἀπὸ τὶς μηνιαῖς τιμὲς τοῦ ἀριθμοῦ R γιὰ τὴν περίοδο 1970-76, τὴν ὁποίᾳ ἐπιπροσθέτως συνδυάζει μὲ παρόμοιες σχεδὸν διετεῖς περιοδικότητες ποὺ ἐμφανίζουν οἱ μηνιαῖς τιμὲς τῆς ροῆς τῶν ήλιακῶν νετρίνων Sakurai (1979, 1980, 1981) ποὺ μετρήθηκαν στὸ ἔδαφος Davis (1978). Εἶναι πιθανὸν ἡ διετής αὐτὴ περιοδικότης τῆς ήλιακῆς δραστηριότητος νὰ ἐκδηλώνεται καὶ στὰ ρεύματα τοῦ ήλιακοῦ ἀνέμου καὶ νὰ ἐπιδρᾷ στὴν ἀτμόσφαιρα τῆς γῆς, ὅπότε θὰ ἥταν δυνατὸ ἵσως νὰ συνδυασθεῖ μὲ σχεδὸν διετεῖς περιοδικότητες ποὺ παρουσιάζουν διάφορα μετεωρολογικὰ φαινόμενα, ὅπως λ.χ.:

- α) 'Η μεταβολή τῆς ταχύτητος τοῦ ἀνέμου στὸν ἴσημερινὸ γιὰ τὴν περίοδο 1970-1977 Kokin (1979)
- β) 'Η μεταβολὴ τῆς θερμοκρασίας, στὸ ἔδαφος ποὺ παρατηρήθηκε σὲ διάφορους σταθμοὺς τῆς Ἰαπωνίας (Akia καὶ Fukuoka), Sakurai (1980) Kokin (1979)
- γ) 'Η σχεδὸν διετὴς μεταβολὴ τῆς περιεκτικότητος τοῦ ὅζοντος στὰ μέσα ὕψη τῆς ἀτμόσφαιρας Angel et al (1978), Dutsh (1979), Petropoulos et al (1984).

'Ως πρὸς τὴν ἐτησία περιοδικότητα ἔξι ἄλλου ποὺ παρουσιάζει ὁ ἀριθμὸς τῶν ρευμάτων τοῦ ἡλιακοῦ ἀνέμου ποὺ προέρχεται τόσον ἀπὸ τὶς ἐκλάμψεις ὅσον καὶ ἀπὸ τὶς στεμματικὲς ὀπές, θὰ ἥταν δυνατὸν νὰ ἀποδοθεῖ, στὴν ἐτησίᾳ κύμανση τοῦ ἐπιπέδου τῆς ἐκλειπτικῆς, ὡς πρὸς τὶς συντεταγμένες ἀναφορᾶς μὲ κέντρο τὸν ἥλιο Simon (1986).

Τέλος οἱ βραχύτερες περιοδικότητες τῶν ἔξι καὶ τεσσάρων μηνῶν ποὺ ἔμφανίζονται καὶ στὶς δύο περιπτώσεις τῶν ρευμάτων τοῦ ἡλιακοῦ ἀνέμου ποὺ προέρχονται ἀπὸ ἐκλάμψεις καὶ ἀπὸ στεμματικὲς ὀπές θὰ μποροῦσαν ἵσως νὰ ἀποδοθοῦν στὴν ἀπόκλιση τοῦ μαγνητικοῦ διπόλου ἀπὸ τὸν ἡλιακὸ ἄξονα περιστροφῆς Simon et al (1986) Legrand et al (1985), Whang (1983).

Τέλος περιοδικότητες 24 καὶ 12 μηνῶν εὐρεύθηκαν πρόσφατα στὴ μεταβολὴ τοῦ μηνιαίου ἀριθμοῦ τῶν ὄριακῶν ἐπιφανειῶν τοῦ διαπλανητικοῦ μαγνητικοῦ πεδίου γιὰ τὸ χρονικὸ διάστημα 1964-1975 (Ξανθάκης, Τριτάκης 1987).

BIBLIOGRAΦΙΑ

- S. J. Akasofu, *Space Sci. Rev.* 28, 121, 1981.
- J. K. Angell and J. Karshaver, *Monthly Weather Rev.* 106, 325, 1978.
- S. J. Bame and J. R. Asbridge, *Astrophys. J.* 207, 977, 1976.
- R. M. Broussard, N. R. Sheeley, R. Tousey and J. H. Underwood, *Stanford Univ. Inst. for Plasma Res.*, Rep. No. 696, 1977.
- R. Jr. Davis, J. C. Evans and B. I. Cleveland, 'The Solar Neutrino Problem', in: E. C. Fowler (ed.), *Neutrino*, Purdue Univ., Lafayette, Vol. 78, p. 53, 1978.
- H. U. Dutsch, *Atm. Terr. Phys.* 41, 771, 1979.
- N. I. Dvinskikh, B. G. Dotgoarshinnykh, Yu. V. Pisanko and N. M. Rudneva, *Geomagnetizm Aeronomiya* 21, 367, 1981.
- W. C. Feldman and J. T. Gosling, *Astrophys. J.* 207, 977, 1977.
- W. C. Feldman, J. R. Asbridge, S. J. Bame and J. T. Gosling, *J. Geophys. Res.* 84, 7371, 1979.

- J. T. Gosling, *Rev. Geophys. Space Phys.* 13, 1053.
- J. T. Gosling, J. R. Asbridge, S. J. Bame and W. C. Feldman, *Geophys. Res.* 81, 5061, 1976.
- J. Hirshberg, *Rev. Geophys. Space Phys.* 1975, 13, 1059-1077, 1975.
- D. Intrilligator, Report UAG-27, W.D.C.A. Solar Phys., Boulder, 1973.
- D. Intrilligator, in M. Shea *et al.* (eds.), *Study of Travelling Interplanetary Phenomena*, D. Reidel Publ. Co., Dordrecht, Holland, p. 195, 1977.
- G. A. Kokin, in M. J. Rycroft (ed.), *Space Research*, Vol. 19, Pergamon, Oxford, p. 115, 1979.
- J. P. Legrand and P. A. Simon, *Astron. Astrophys.* 152, 199, 1985.
- B. A. Lindblad, *Solar Phys.* 74, 187, 1981.
- B. A. Lindblad and H. Lundstedt, *Solar Phys.* 88, 377, 1983.
- H. Mavromichalaki and B. Petropoulos, *Astrophys. Space Sci.* 106, 61, 1984.
- J. M. Mitchel, 1966,
- B. Petropoulos and J. Liritzis, Quadrennial Ozone Symposium of the International Associations of Meteorology and Atmospheric Physics, Chalkidiki, Greece, 1984.
- M. Yu. Pudovkin and A. D. Chertkov, *Solar Phys.* 50, 213, 1976.
- K. Sakurai, *Sun and Climate*, Edit. Centre Nat. d'Études Spatial, Int. Conf., Toulouse, p. 165, 1980.
- K. Sakurai, *Nature* 278, 146, 1979.
- K. Sakurai, *Solar Phys.* 74, 38, 1981.
- R. Schwenn, et al. *J. Geophys. Res.* 81, 5054, 1978.
- R. Shapiro and F. Ward, *J. Atm. Sci.* 19, 506, 1962.
- N. R. Sheeley, J. R. Asbridge, S. J. Bame and J. W. Warwey, *Solar Phys.* 52, 485, 1977.
- Kp. A. Simon and J. P. Legrand, *Sun and Climate*, Int. Conf. CNES, Toulouse, p. 33, 1980.
- P. A. Simon and J. P. Legrand, *Astron. Astrophys.* 155, 227, 1986.
- E. J. Smith, *Rev. Geophys. Space Phys.* 17, 610, 1979.
- Y. C. Whang, *Solar Phys.* 88, 343, 1983.
- G. A. Kokin, *Space Research*, 19, ed. by M.J. Rucroft, Pergamon Oxford, p. 115, 1979.
- J. K. Angell, *J. Karshaver*, Month Weather Rev. 106, 325, 1978.
- H. U. Dütsch, *J. Atmosph. Terr. Phys.* 41, 771, 1979.
- B. Petropoulos, J. Liritzis, Quadrennial Ozone Symposium of the International Associations of Meteorology and Atm. Physics Chalkidiki Greece, 1984.
- J. P. Legrand, P. A. Simon, *Astron. Astrophys.* 152, 199, 1985.
- P. A. Simon, J. P. Legrand, *Astron. Astrophys.* 155, 227, 1986.
- Y. C. Whang, *Sol. Phys.* 88, 343, 1983.
- J. Xanthakis, B. Tritakis (in press).

SUMMARY

Probable periodicities of the solar wind streamers

We have made a statistical analysis of the monthly numbers of high velocity solar wind streamers observed by the satellites for the time period 1964-1978.

The following periods have been found:

- 1) 11 years, 6 and 3 months for the solar wind streamers, which have solar flares as sources
- 2) 14 years, and 36, 24, 12, 6, 4, 3 months for the number of solar wind streamers, which have coronal holes as sources
- 3) 16 years, for the total number of solar wind streamers.